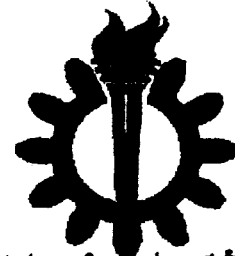


بِسْمِ اللَّهِ الرَّحْمَنِ الرَّحِيمِ



دانشگاه علم و صنعت ایران

دانشکده مهندسی مکانیک

پایان نامه کارشناسی ارشد

۱۳۸۰ / ۱۱ / ۳۰

## کنسل فنازی

# سیستم تعیین سرمه فعال خودرو

013812

تهیه کننده:  
مهدوی کاشانی آزاد

استاد راهنمای:  
دکتر مرتضی منتظری

زمستان ۱۳۷۹

۳۷۱۹۰

تقدیم به خانواده عزیزم،  
و تمام آنانکه دوستشان می دارم

## خلاصه:

مشخصات ضریب سختی فنرها و ضریب میرایی کمک فنرها در سیستمهای تعلیق غیر فعال ثابت هستند. که سبب می شود به ازای اغلب ورودیهای تحریک جاده بر سیستم، عملکرد سیستم تعلیق خودرو از وضعیت بهینه و طراحی شده فاصله بگیرد. سیستمهای فعال با استفاده از عملگرهای هیدرولیکی و با یک استراتژی کنترلی مناسب این قابلیت را دارند که در لحظات مناسب و به مقدار مناسب به سیستم انرژی اضافه و یا کم کنند و رفتار مناسب سیستم تعلیق تحت شرایط تحریک جاده های مختلف در جهت دستیابی به تمامی اهداف سیستم تعلیق را ایجاد کنند. درواقع سیستم تعلیق بدین ترتیب تبدیل به یک سیستم هوشمند می گردد.

اشکال عمده سیستمهای تعلیق فعال مصرف انرژی زیاد توسط عملگرهای هیدرولیکی، وزن و قیمت زیاد آنها است که سبب شده است سیستمهای فعال کاربرد تجاری نداشته باشند. با این اهمیت باند فرکانسی عملکرد سیستم فعال و تولید سیستمهای تعلیق فعال محدود ، این مشکل تا حد زیادی برطرف شده است. سیستمهای تعلیق نیمه فعال راه حل اساسی برای کاهش مصرف انرژی و وزن و قیمت سیستمهای فعال هستند. در سیستمهای نیمه فعال صرفا در لحظات مناسب و به مقدار مناسب از سیستم تعلیق انرژی جذب می شود. با وضع قوانین کنترلی مناسب، عملکرد سیستمهای نیمه فعال می تواند قابل رقابت با سیستمهای فعال باشد. استراتژی کنترلی در سیستمهای نیمه فعال دقیقا ، مشابه سیستمهای فعال است. با این تفاوت که در سیستمهای نیمه فعال با فرمان افزایش نیرو به سیستم، صرفا میرایی کمک فنر در حداقل مقدار خود قرار می گیرد یعنی کنترلر در سیستمهای نیمه فعال فقط ضریب میرایی کمک فنر را تغییر می دهد.

به علت رفتار غیر خطی مدل واقعی خودرو ، همچنین غیر خطی بودن عملکرد فنر و کمک فنر، کنترلهای غیر خطی در صورت طراحی مناسب می توانند نتایج خوبی برای کنترل سیستم تعلیق به همراه داشته باشند. یکی از این کنترلهای کنترل فازی است که در این پروژه در کنترل سیستمهای تعلیق فعال و نیمه فعال بکار گرفته شده است.

بدینوسیله از جناب آقای دکتر منظری،  
که همواره راهنمای اینجانب در انجام این پروژه بوده اند،  
تشکر و قدردانی می نمایم .

همچنین از جناب آقای دکتر حائری یزدی، که با همکاری  
ایشان دستیابی به مدارک مورد نیاز در مرکز تحقیقات و  
خدمات خودکفایی ایران محقق شد کمال تشکر و  
قدردانی را دارم .

## فهرست

### خلاصه

1.....	فصل اول : مقدمه .....
2.....	1-۱ تاریخچه .....
5.....	1-۲ تعاریف .....
8.....	1-۳ سیستم تعلیق خودرو .....
11.....	1-۴ اجزاء سیستم تعلیق .....
11.....	1-۴-۱ فنر .....
12.....	2-۴-۱ کمک فنر .....

### فصل دوم: تحریک سیستم تعلیق خودرو.....

۵ .....	۲-۱ مقدمه .....
۱۵ .....	۲-۲ تحریک در حوزه فرکانس.....
۱۷.....	۲-۳ تحریک در حوزه زمان.....
۱۷.....	۲-۳-۱ پاسخ به ضربه واحد.....
۱۸.....	۲-۳-۲ پاسخ به پله واحد.....
۲۰.....	۲-۴ تحریک اتفاقی.....
۲۰.....	۲-۴-۱ تحریک اتفاقی در حوزه زمان.....
۲۳.....	۲-۴-۲ تحریک اتفاقی در حوزه فرکانس.....

### فصل سوم: کنترل سیستمهای تعلیق.....

۲۹.....	۳-۱ مقدمه .....
۳۰.....	۳-۲ ابزار کنترل .....
۳۰.....	۳-۲-۱ منطق و کنترل فازی .....
۳۱.....	۳-۲-۱-۱ تاریخچه .....
۳۲.....	۳-۲-۱-۲ مجموعه های فازی .....
۳۴.....	۳-۲-۱-۳ عملیات منطق فازی .....
۳۵.....	۳-۲-۱-۴ متغیرها و قواعد فازی .....

۳۹.....	۳-۲-۱-۵	مراحل کنترل فازی.....
۴۱.....	۳-۲-۱-۶	جعبه فازی.....
۴۴.....	۳-۲-۲	کنترل بهینه .....
.۴۸.....	۳-۳	روشهای کنترل.....
۴۸.....	۳-۳-۱	کنترل پسخور .....
۴۹.....	۲-۳-۲	کنترل پیشخور.....
۵۰.....	۳-۳-۲-۱	کنترل پیشخور با تاخیر زمانی .....
۵۱.....	۳-۳-۲-۲	کنترل پیش اخطار .....

۵۳.....	فصل چهارم : سیستم تعليق غير فعال .....
۵۴.....	۴-۱ مقدمه .....
۵۴.....	۴-۲ انواع سیستمهای تعليق غير فعال .....
۵۴.....	۴-۲-۱ سیستمهای تعليق غير فعال وابسته.....
۵۶.....	۴-۲-۲ سیستمهای تعليق غير فعال مستقل .....
۶۰.....	۴-۳ مدلسازی سیستم تعليق غير فعال .....
۶۳.....	۴-۳-۱ مدل دو درجه آزادی .....
۶۸.....	۴-۳-۲ مدل هفت درجه آزادی .....
۷۵.....	۴-۴ قيود طراحی .....
۷۶.....	۴-۵ بهينه سازی تعليق غير فعال .....
۷۷.....	۴-۵-۱ روش بهينه سازی .....
۷۹.....	۴-۵-۲ متغيرهای بهينه سازی .....
۸۱.....	۴-۵-۳ آناليز بهينه سازی .....
۸۳.....	۴-۵-۴ نتایج بهينه سازی .....
۸۵.....	۴-۶ نتایج مدلسازی غير فعال .....

۱۰۲.....	فصل پنجم : سیستم تعليق فعال .....
۱۰۳.....	۵-۱ مقدمه .....
۱۰۳.....	۵-۲ انواع سیستمهای تعليق فعال .....
۱۰۶.....	۵-۲-۱ سیستمهای تعليق فعال كامل .....
۱۰۷.....	۵-۲-۲ سیستمهای تعليق فعال محدود .....
۱۰۸.....	۵-۳ مدلسازی سیستم تعليق فعال .....

۵-۴	کنترل مدل سیستم تعلیق فعال .....	۱۲۴
۵-۴-۱	کنترل فازی سیستم تعلیق فعال .....	۱۲۴
۵-۴-۲	کنترل بهینه سیستم تعلیق فعال .....	۱۲۹
۵-۴-۳	نتایج کنترل سیستم تعلیق فعال .....	۱۳۱
 فصل ششم: سیستم تعلیق نیمه فعال .....		
۶-۱	مقدمه .....	۱۴۷
۶-۲	انواع سیستم‌بای تعلیق نیمه فعال .....	۱۴۸
۶-۲-۱	سیستم تعلیق نیمه فعال قطعی، وصلی .....	۱۴۹
۶-۲-۲	سیستم تعلیق نیمه فعال پیوسته .....	۱۵۰
۶-۲-۳	مدلسازی سیستم تعلیق نیمه فعال .....	۱۵۳
۶-۲-۴	مدلسازی آزادی سیستم تعلیق نیمه فعال .....	۱۵۴
۶-۲-۵	مدل دو درجه آزادی سیستم تعلیق نیمه فعال .....	۱۵۴
۶-۲-۶	مدل هفت درجه آزادی سیستم تعلیق نیمه فعال .....	۱۵۶
۶-۳	کنترل مدل نیمه فعال سیستم تعلیق .....	۱۶۸
۶-۳-۱	کنترل فازی سیستم تعلیق نیمه فعال .....	۱۶۸
۶-۳-۲	کنترل بهینه سیستم تعلیق نیمه فعال .....	۱۷۳
۶-۴	کنترل مدل کمک فنر .....	۱۷۴
۶-۴-۱	نتایج مدلسازی سیستم تعلیق نیمه فعال .....	۱۷۸
 فصل هفتم: مقایسه و نتیجه گیری .....		
۷-۱	فهرست مراجع .....	۱۹۲

## فهرست شکلها

۵	..... شکل (۱-۱) : زوایا و حرکات بدنه خودرو.
۷	..... شکل (۱-۲) : تغییرات زاویه کمپر در اثر ناهمواریهای جاده.
۷	..... شکل (۱-۳) : تغییر زاویه Toe در اثر ناهمواریهای جاده.
۹	..... شکل (۱-۴) : شکل مقایسه Holding , Ride Comfort
۱۲	..... شکل (۱-۵) : کمک فنر.
۱۳	..... شکل (۱-۶) : مقایسه ضریب میرایی در مدل یک درجه آزادی.
۱۳	..... شکل (۱-۷) : نمودار نیرو - تغییر مکان کمک فنر.
۱۵	..... شکل (۲-۱) : تحریک تکیه‌گاهی مدل یک درجه آزادی.
۱۶	..... شکل (۲-۲) : اختلاف فاز تحریک پایه و تغییر مکان جرم ارتعاشی.
۱۹	..... شکل (۲-۳) : ورودی Bump ناهمواری جاده نوع اول.
۱۹	..... شکل (۲-۴) : ورودی Bump ناهمواری جاده نوع دوم.
۲۲	..... شکل (۲-۵) : نمودار طیف اتفاقی در حوزه زمان.
۲۳	..... شکل (۲-۶) : محاسبه تابع Autocorrelation
۲۴	..... شکل (۲-۷) : Power Spectral Density
۲۵	..... شکل (۲-۸) : Power Spectral Density در مقایسه با نمودارهای ISO برای چند نوع جاده.
۲۵	..... شکل (۲-۹) : مریبوط به مدل خودرو در حوزه فرکانسی.
۲۷	..... شکل (۲-۱۰) : ورودی جاده در حوزه فرکانسی.
۳۱	..... شکل (۳-۱) : کنترل فازی.
۴۵	..... شکل (۳-۲) : کنترل بهینه LQR
۴۶	..... شکل (۳-۳) : کنترل بهینه LQG
۴۷	..... شکل (۳-۴) : فیلتر کالمن.
۴۸	..... شکل (۳-۵) : اجزاء سیستم کنترل پس خور.
۴۹	..... شکل (۳-۶) : دیاگرام کنترل پس خور.

شکل (۳-۷) : اجزاء سیستم تعلیق پیش خور.....	۵۰
شکل (۳-۸) : دیاگرام کنترل پیش خور .....	۵۰
شکل (۳-۹) : کنترل پیش خور <b>Look Ahead Preview</b>	۵۱
شکل (۳-۱۰) : کاربرد کنترل نگاه به جلو در مدل دو درجه آزادی.....	۵۲
شکل (۴-۱) : سیستم تعلیق هاچکیس.....	۵۵
شکل (۴-۲) : مکانیزم سیستم تعلیق چهار عضوی.....	۵۶
شکل (۴-۳) : سیستم تعلیق مک فرسون.....	۵۷
شکل (۴-۴) : سیستم تعلیق دو جناغی .....	۵۸
شکل (۴-۵) : سیستم تعلیق <b>Semi-trailing Arm</b>	۵۹
شکل (۴-۶) : سیستم تعلیق میله پیچشی .....	۵۹
شکل (۴-۷) : سیستم تعلیق <b>Swing Axle</b>	۶۰
شکل (۴-۸) : دینامومتر برای تست سیستم تعلیق خودرو .....	۶۲
شکل (۴-۹) : مدل دو درجه آزادی غیر فعال .....	۶۳
شکل (۴-۱۰) : مدل دو درجه آزادی طراحی شده با استفاده از نرم افزار <b>SIMULINK</b>	۶۵
شکل (۴-۱۱) : تأثیر افزایش ضریب سختی فنر تعلیق در شتاب نوسان جرم ارتعاشی مدل دو درجه آزادی .	۶۶
شکل (۴-۱۲) : تأثیر افزایش ضریب میرایی کمک فنر بر جرم ارتعاشی در مدل دو درجه آزادی .....	۶۷
شکل (۴-۱۳) : مدل هفت درجه آزادی خودرو.....	۶۸
شکل (۴-۱۴) : حل در حوزه زمان مدل هفت درجه آزادی غیر فعال بدون دمپر.....	۷۳
شکل (۴-۱۵) : تأثیر ضریب سختی بیشتر چرخهای عقب خودرو.....	۷۵
شکل (۵-۱) : اجزاء سیستم تعلیق فعال کامل .....	۱۰۴
شکل (۵-۲) : کنترل فعال زاویه <b>Roll</b> .....	۱۰۵
شکل (۵-۳) : سیستم تعلیق فعال کامل .....	۱۰۷
شکل (۵-۴) : مقایسه سیستم تعلیق فعال و غیر فعال در مدل دو درجه آزادی .....	۱۰۷
شکل (۵-۵) : سیستم تعلیق فعال محدود .....	۱۰۸
شکل (۵-۶) : مدل دو درجه آزادی فعال.....	۱۰۹

شکل (۵-۷) : تست سیستم تعليق فعال با استفاده از مدل دو درجه درجه آزادی.	۱۱۲
شکن (۵-۸) : مقایسه سیستمهای فعال، غیرفعال، نیمه فعال.	۱۲۵
شکل (۶-۱) : سیستم نیمه فعال قطعی وصلی.	۱۵۰
شکل (۶-۲) : مقایسه مدلسازی سیستم تعليق غيرفعال و نیمه فعال <b>Skyhook</b>	۱۵۱
شکل (۶-۳) : مدلسازی سیستم تعليق <b>Hybrid</b> و <b>Groundhook</b>	۱۵۲
شکل (۶-۴) : عملکرد مدل ایده آل <b>Hybrid</b> به ازای مقادیر مختلف $\alpha$	۱۵۳
شکل (۶-۵) : محدوده تغییرات ضریب میرایی وسیعتر در سیستم تعليق نیمه فعال پیوسته.	۱۵۳
شکل (۶-۶) : مدل دو درجه آزادی نیمه فعال.	۱۵۴
شکل (۶-۷) : کاربرد کمک فنرهای کنترل شونده روی چهار چرخ خودرو.	۱۵۶
شکل (۶-۸) : استفاده از کنترل بهینه <b>LQR</b> (حذف سطر متناظر ورودی تحریک جاده در ماتریس کنترل)	۱۷۳
شکل (۶-۹) : مدل یک کمک فنر.	۱۷۵
شکل (۶-۱۰) : یک کمک فنر هیدرولیکی.	۱۷۶

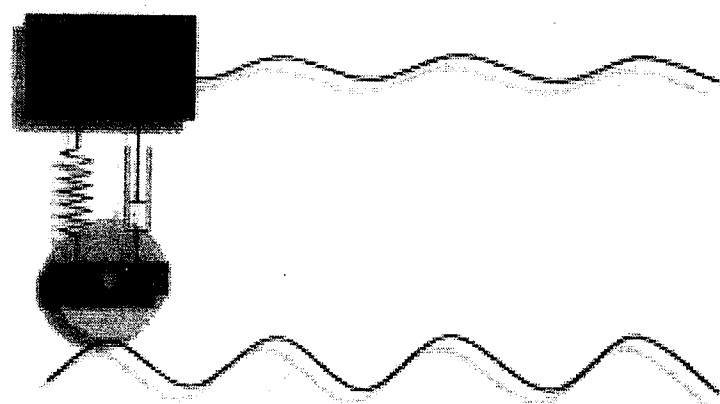
## فهرست جداولها

جدول ۱ : قوانین فازی استفاده شده در کنترل فازی سیستم تعلیق فعال و فعال محدود ۱۲۸.....

جدول ۲: قوانین فازی استفاده شده در کنترل فازی سیستم تعلیق نیمه فعال ۱۷۲.....

فصل اول

## مقدمة



## ۱- تاریخچه

پیدایش سیستم تعليق غير فعال به اوایل قرن بیستم برمی گردد. در آن سالها شخصی بنام راول (Rawell) در انگلستان بر روی خودروهایی که تا آن زمان قادر هرگونه مکانیزم استهلاکی بودند، مطالعات وسیعی انجام داد. در آن زمان تنها عامل میرایی ارتعاشات در سیستم تعليق همان استهلاک طبیعی موجود در فنرها بود. تحقیقات راول توسط دو پژوهشگر بنامهای گست (Guest) و اولی (Olley) در سال ۱۹۳۴ تکمیل شد. بررسیهای بعدی در آنالیز نمودن راحتی سفر در سال ۱۹۵۳ توسط ریچارد چسکا (Richard Jeska) توسط یک مدل با چهار درجه آزادی انجام شد. وی طی آزمایشات دقیق و با عکسبرداری سریع، پروفیلهای واقعی جاده را به ثبت رساند. طراحان سیستم تعليق در طی دهه‌های گذشته از اصول پایه‌ای که توسط اولی تبیین شده است، به عنوان اساسی طراحی سیستمهای تعليق غير فعال استفاده کردند.

ایده سیستمهای تعليق فعال در دهه ۱۹۶۰ ابتدا توسط Bender [۲] ارائه گردید و انواع روش‌های کنترل در سیستم تعليق توسط Chalasani [۳] و Thompson [۴] و دیگران مورد استفاده قرار گرفت. از کنترل بهینه در سیستم تعليق فعال استفاده کردند. Sharp و Hassan [۵] و Wilson [۶] از کنترل بهینه در سیستم تعليق فعال استفاده کردند. ایده سیستمهای نیمه فعال ابتدا توسط Karnopp [۷] ارائه گردید سپس روش‌های مختلف کنترل در سیستمهای نیمه فعال توسط Kawagoe [۸] و Sankar [۹] و Hrovat [۱۰] و Alanoly [۱۱] بکار گرفته شد. از کنترل بهینه در سیستم نیمه فعال استفاده کردند. Yoshimura [۱۲] Hedrick Butsuen [۱۳] از کنترل بهینه برای تاثیر کنترل فازی بر راحتی سفر خودرو استفاده کرد. مدل کامل نیمه فعال خودرو برای بررسی تاثیر کنترل فازی بر راحتی سفر خودرو استفاده کرد.

ایده سیستمهای تعليق اتوماتیک (فعال) ابتدا توسط Labrosse (Labrosse) و Federspeil (Federspeil) در سال ۱۹۵۴ ارائه گردید، از آن زمان تاکنون چندین نوع مکانیزم و راه حل برای تولید نیروهای کنترل کننده سیستم تعليق فعال ارائه گردیده است. راکویل (Rockwell) و لاودر (Lawther) در سال ۱۹۶۴، سیستم تعليق فعال را با استفاده از مدل یک درجه آزادی بررسی کردند. سیستمهای تعليق نیمه فعال در سال ۱۹۷۳ توسط Karnopp (Karnopp) و Crosby (Crosby) معرفی شدند.

سیستم تعليق فعال با استفاده در مدل دو درجه آزادی توسط تامسون (Thompson) در سال ۱۹۷۹، مورد بررسی قرار گرفت و در کنترل آن از تئوری کنترل خطی بهینه استفاده کرد. چلسانی (Chalasani) در سال

۱۹۸۶ تحقیق جامعی روی سیستمهای فعال انجام داد. او از مدل یکچهارم و مدل کامل خودرو استفاده کرد و بهبود عملکرد سیستمهای فعال را نسبت به سیستمهای غیر فعال مورد بررسی قرارداد. در سال ۱۹۸۷، شارپ (Sharp) و کرولا (Crolla)، ضمن گردآوری کارهای انجام شده روی سیستمهای فعال و نیمه فعال، آنها را مورد بررسی قرار دادند. و ثابت کردند که مدل دو درجه آزادی یکچهارم خودرو قابلیت استفاده برای تحلیل راحتی سفر را دارد. و پیشنهاد کردند که برای در نظر گرفتن خوش فرمانی در کنار راحتی سفر، می‌توان از پارامتر جابجایی تعليق (حرکت نسبی جرم ارجاعی نسبت به جرم غیر ارجاعی) در تابع هدف استفاده کرد.

هدریک (Hedrick) و مالک (Malek) در سال ۱۹۸۵ و المدنی (El-Madani) در سال ۱۹۸۷ و کرولا و عبدالهادی (Abdol hady) در سال ۱۹۹۱، از مدل نصف و یا مدل کامل خودرو که قابلیت اندازه‌گیری زوایای Roll و Pitch در آن باشد، برای بررسی دقیق‌تر خوش فرانی خودرو استفاده کردند. ویلیامز (Williams) در سال ۱۹۸۵ و اکاموتو (Okamoto) در سال ۱۹۸۷ و زیمنس (Gimenz) در سال ۱۹۸۸، استفاده از سیستم تعليق فعال را ببروی قطار مورد بررسی قرار دادند. در سال ۱۹۸۷، آلانولی (Alanoly) و سنکر (Sankar) از مدل یک درجه آزادی برای مقایسه روش‌های مختلف کنترل استفاده کردند. با افزودن یک درجه آزادی حرکت عمودی صندلی خودرو، تحلیل راحتی سفر دقیق‌تر انجام می‌شود این بررسی، خصوصاً برای محاسبه راحتی سفر آمبولانسها توسط هنک (Henneke) و زیگمیر (Ziegelmeyer) در سال ۱۹۸۸ انجام شد و سپس در سال ۱۹۸۹، چوک سیستم کنترل فعال را تنها در محل صندلی راننده برای افزایش راحتی سفر مورد بررسی قرار داد.

کرولا در سال ۱۹۸۸، مراحل طراحی و تحلیل مدل خودرو برای کنترل فعال را به ترتیب زیر پیشنهاد کرد.

-۱ تحلیل معادلات حرکت برای مدل یکچهارم خودرو.

-۲ نوشتمن قوانین کنترل سیستم فعال.

-۳ استفاده از یک تابع اتفاقی ورودی برای بررسی عملکرد سیستم بدست آمده.

-۴ تکرار محاسبات برای محدوده مشخصی از ناهمواریهای سطح جاده و سرعت خودرو.

سیوالد (Seewold) و جانکر (Junker)، با در نظر گرفتن درجه آزادی صندلی، در تراکتور خود برای راحتی